

FIG. 1

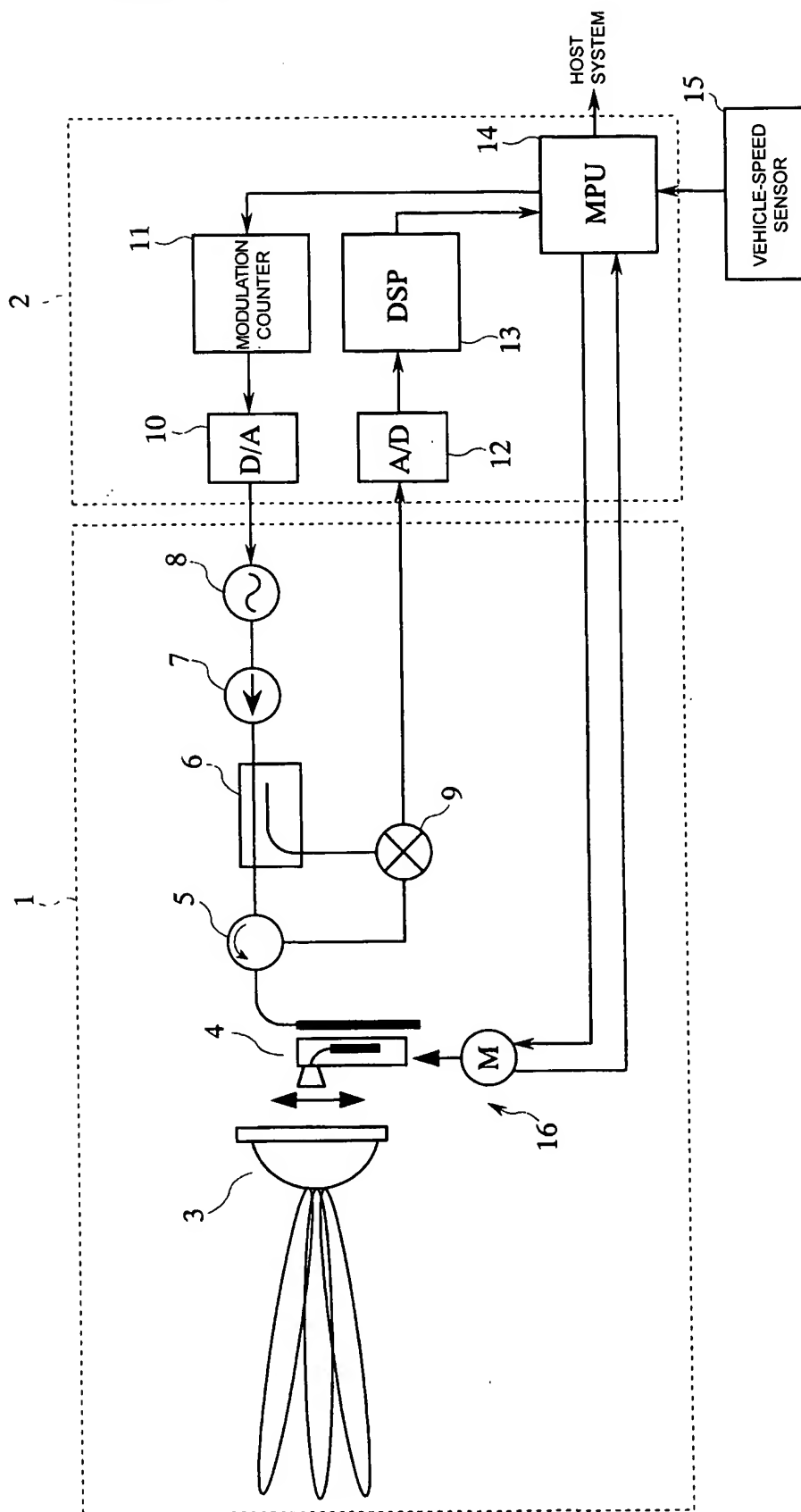


FIG. 2

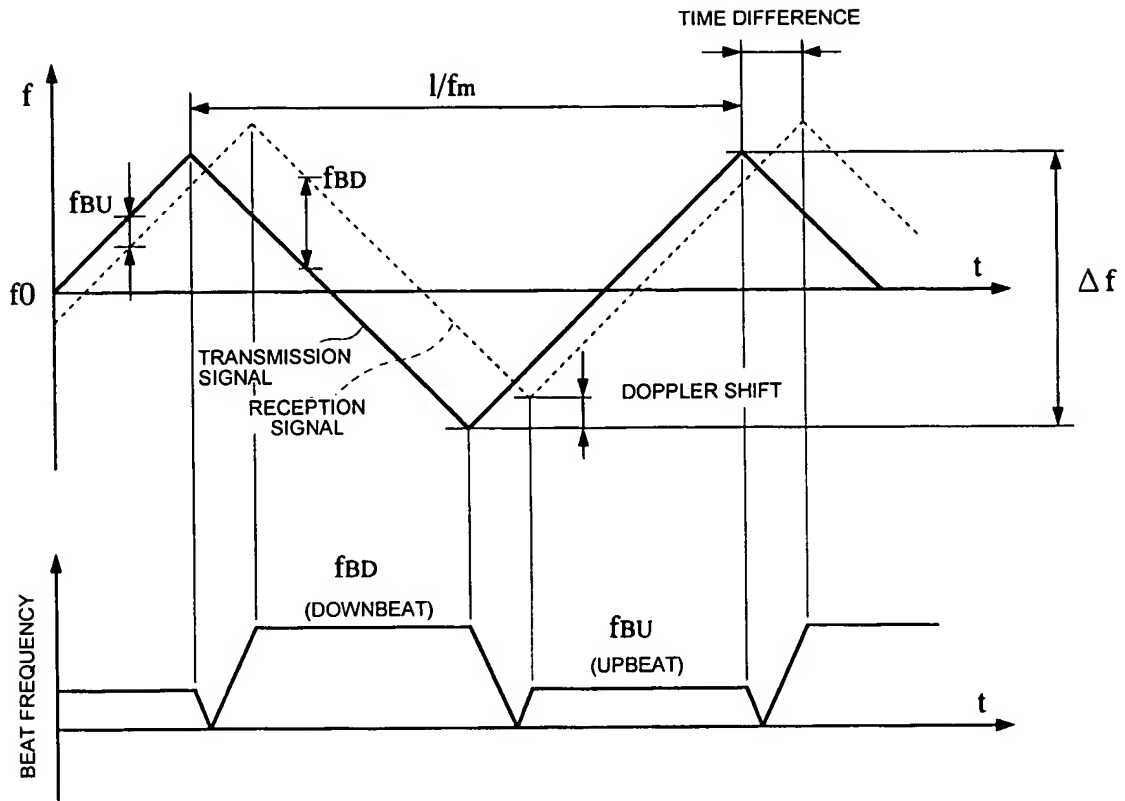


FIG. 3

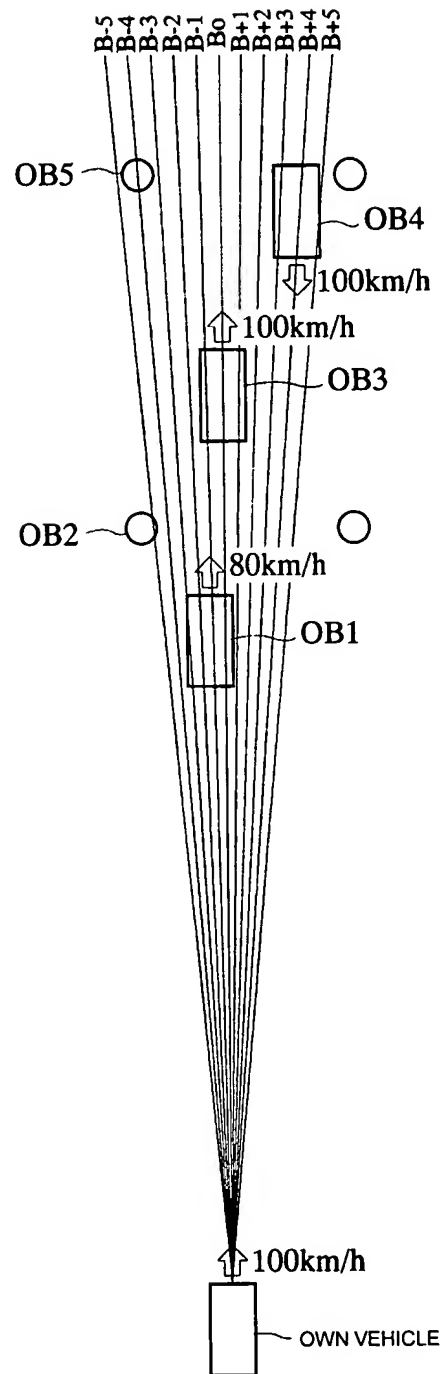


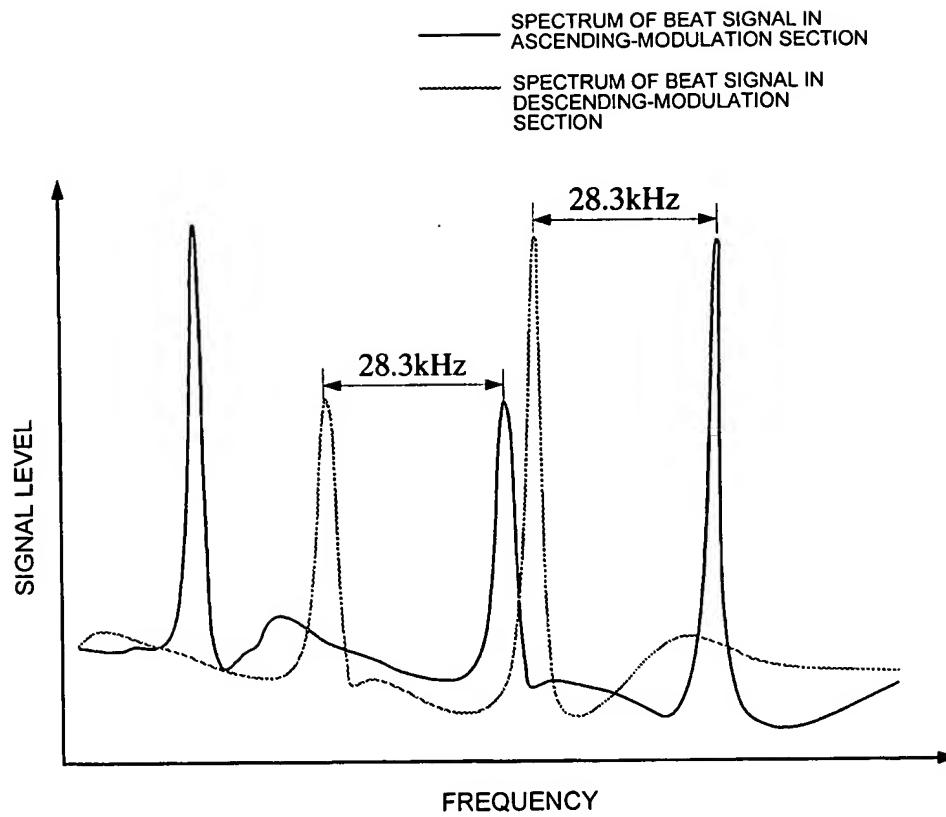
FIG. 4

FIG. 5

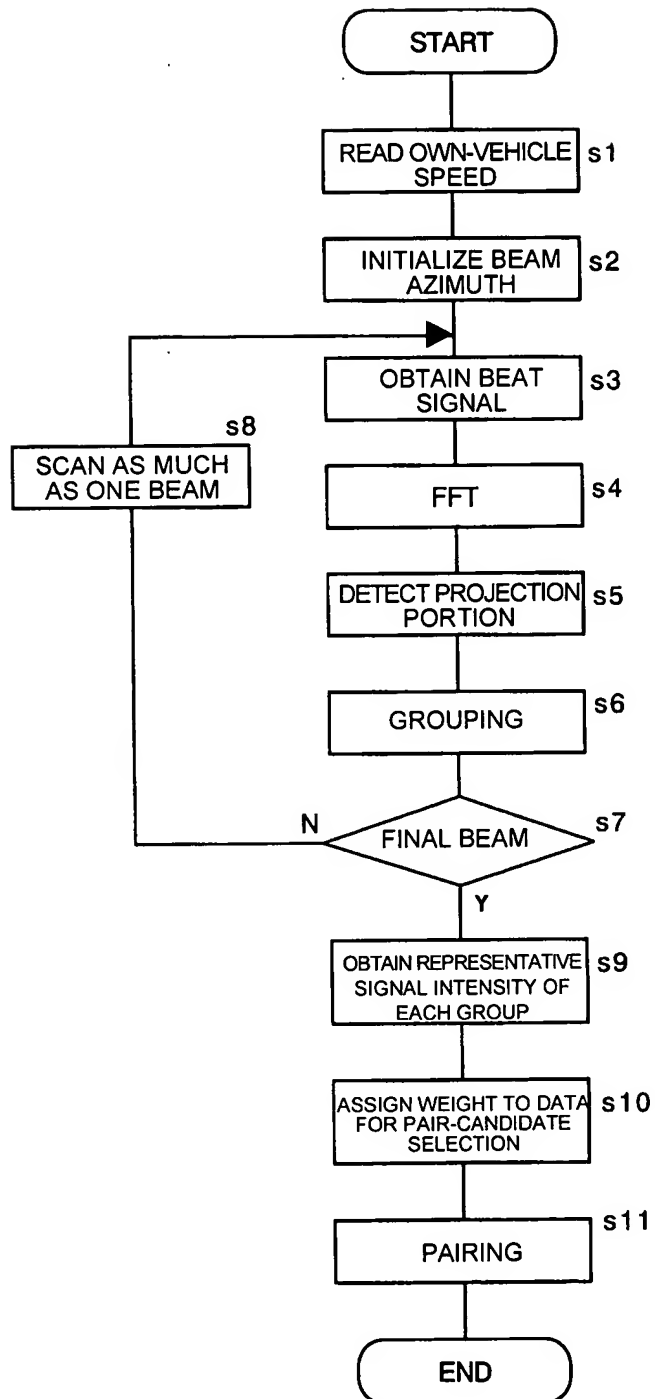


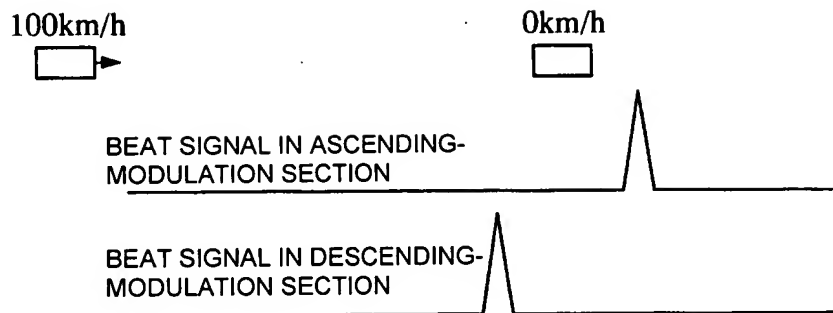
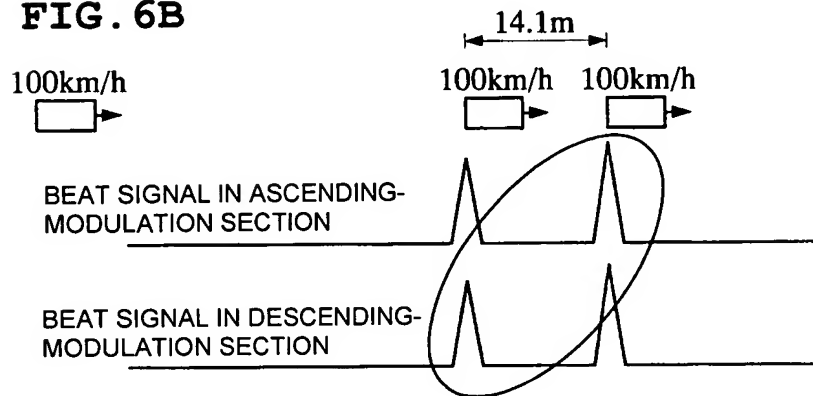
FIG. 6A**FIG. 6B**

FIG. 7

A, B PEAK OF ASCENDING-MODULATION SECTION
 α, β PEAK OF DESCENDING-MODULATION SECTION

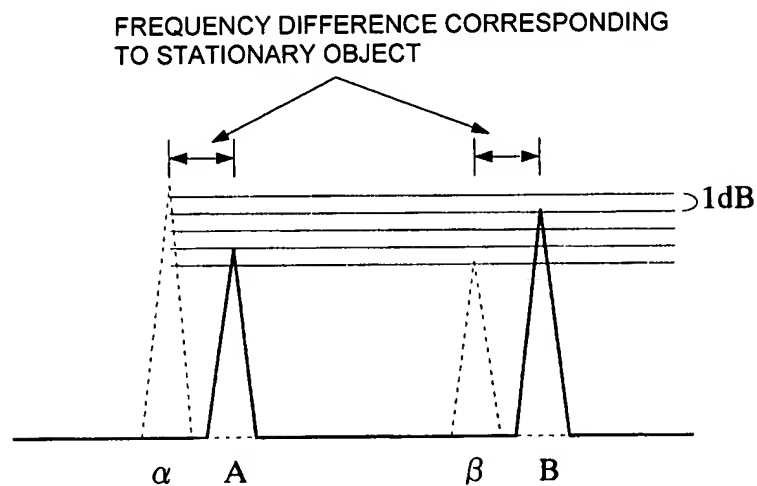


FIG. 8A

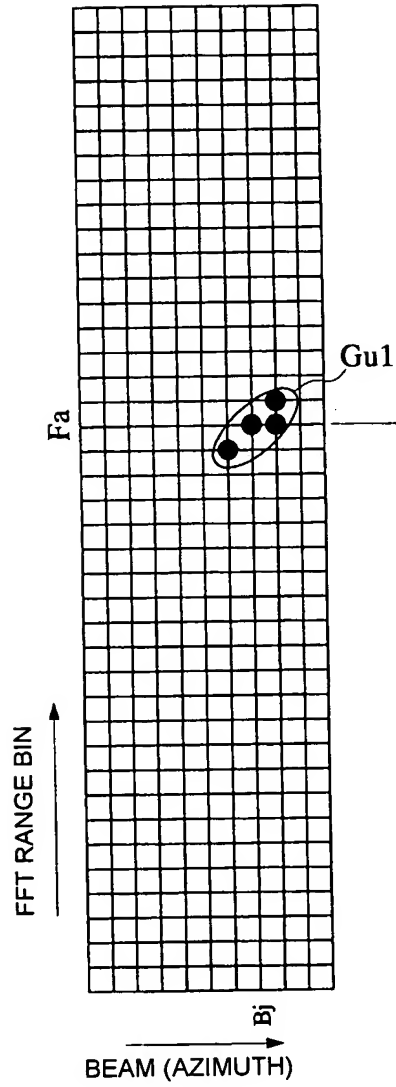


FIG. 8B

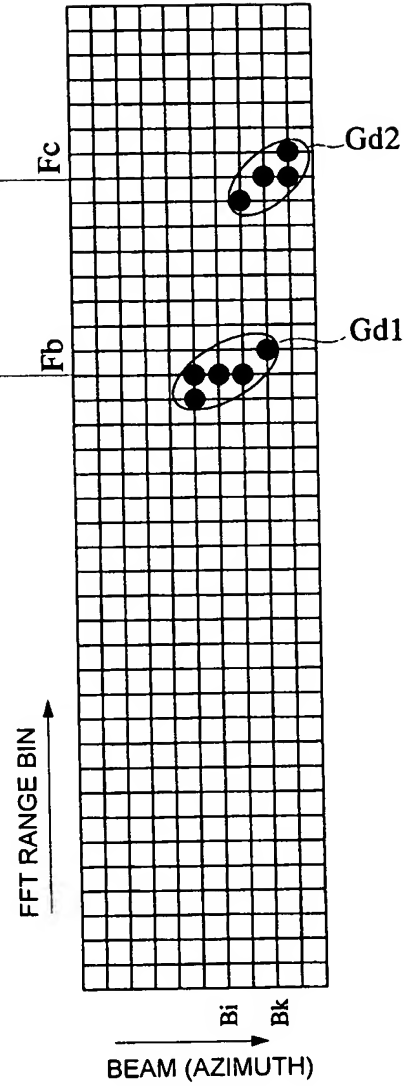


FIG. 9A

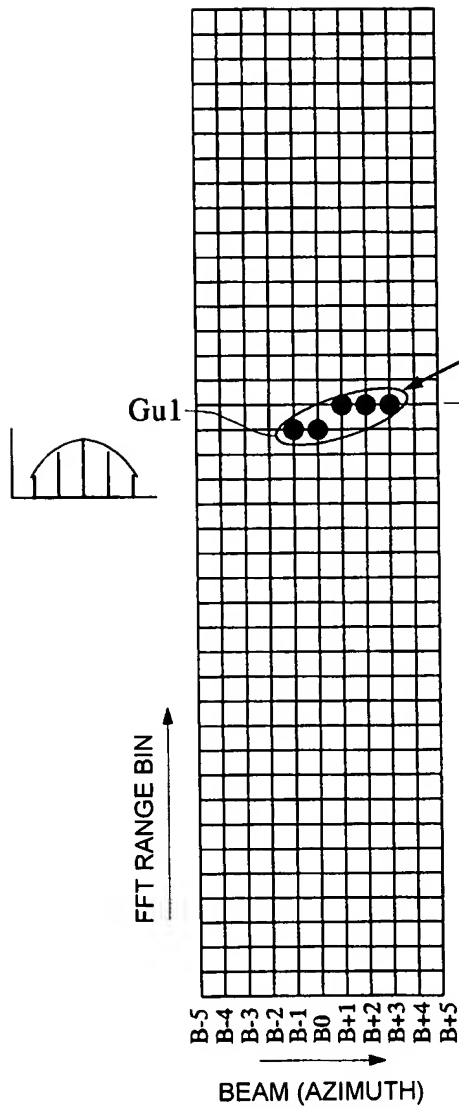


FIG. 9B

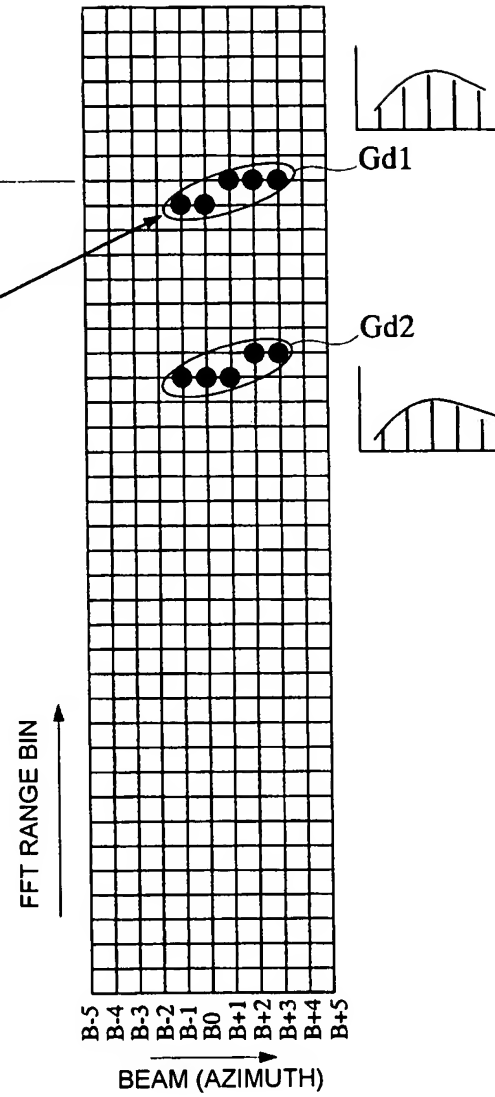


FIG. 10A

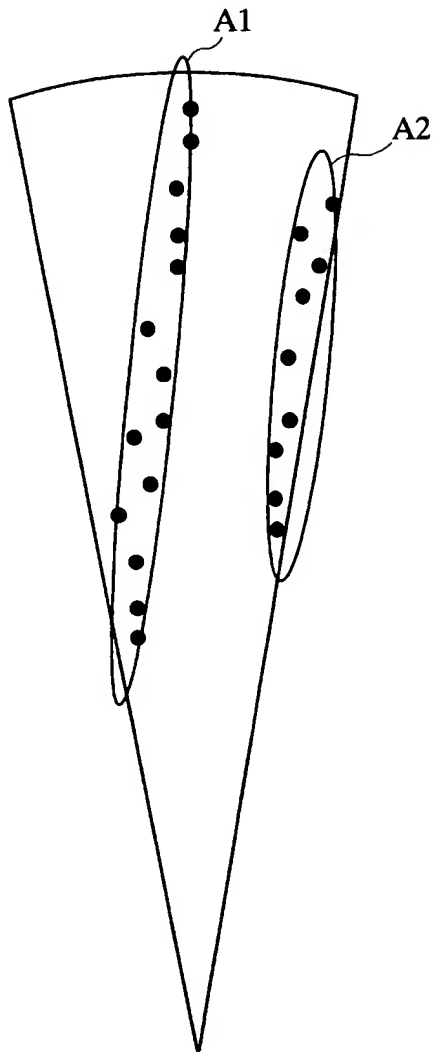


FIG. 10B

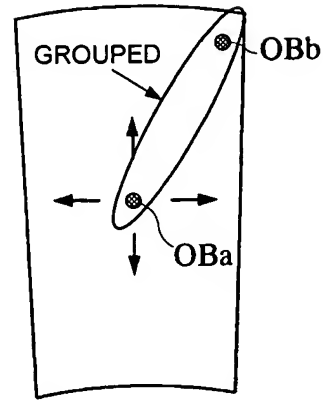


FIG. 10C

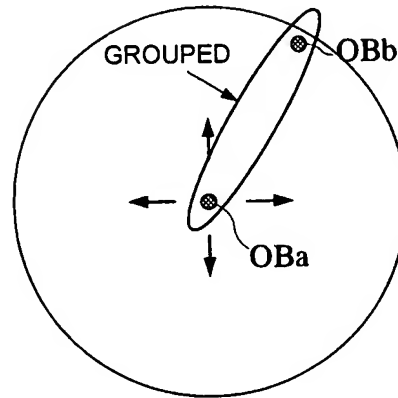


FIG. 11

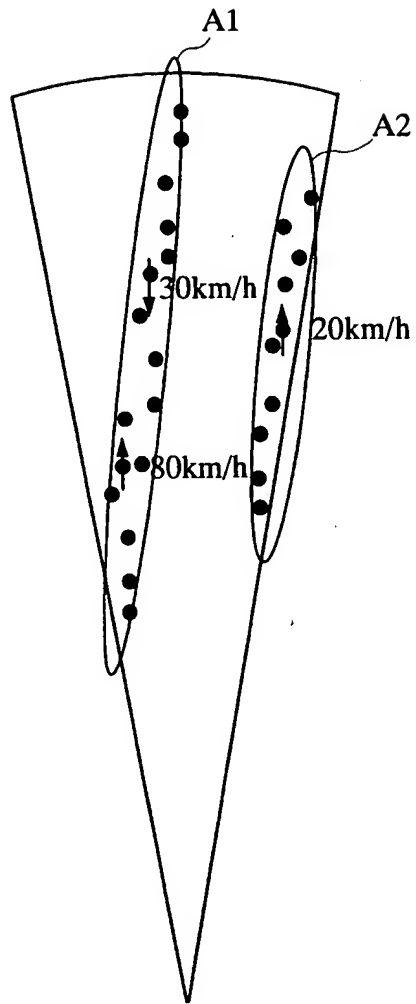


FIG. 12

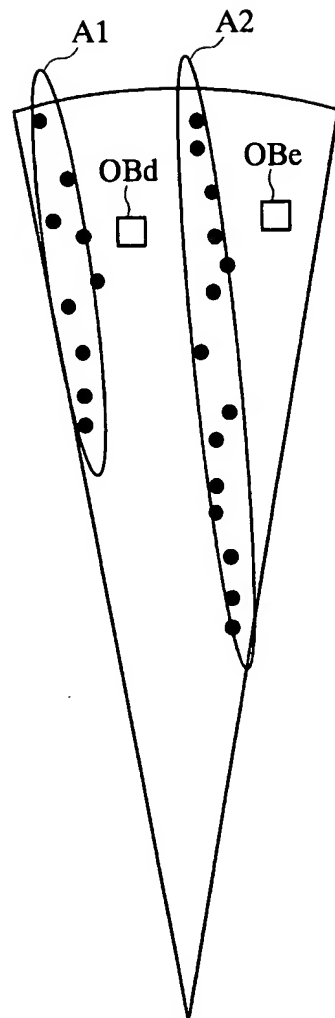


FIG. 13

